

О РАСЧЕТЕ ТОЧЕЧНОГО ВЗРЫВА В РАЗЛИЧНЫХ ГАЗАХ

Н. С. Мельникова, Т. М. Саламахин (Москва)

Автомодельная задача о точечном взрыве в газе без учета противодавления была решена Л. И. Седовым [1, 2]. Численные решения неавтомодельной задачи о точечном взрыве для случая сферической симметрии ($v = 3$) с показателем адиабаты $\gamma = 1.4$ даны в работах [3–5].

В литературе предложен ряд приближенных методов расчета неавтомодельных течений, пригодных в основном для описания распространения по газу ударных волн большой интенсивности; укажем, например, метод Г. Г. Черного [6, 7], основанный на разложении газодинамических величин по степеням параметра κ , характеризующего отношение плотности газа перед волной к плотности газа за волной.

Для решения ряда неавтомодельных задач при исследовании ударных волн большой интенсивности во многих работах использовался метод линеаризации исходных уравнений около неавтомодельного решения [8–13]; в этом методе линеаризация велась по безразмерному параметру q , характеризующему интенсивность ударной волны и равному отношению квадрата скорости звука в невозмущенном газе к квадрату скорости ударной волны¹.

Т. М. Саламахин предложил приближенный метод решения неавтомодельных задач о неустановившихся движениях газа внутри одномерных ударных волн при помощи введенного им замыкающего уравнения, формулирующего гипотезу о том, что для любого фиксированного момента времени распределение плотности по пространственной координате может быть описано степенным законом. Ниже приводится изложение этого метода, а также некоторое его развитие и результаты выполненных расчетов неавтомодельной задачи о точечном взрыве в случаях плоской ($v = 1$), цилиндрической ($v = 2$) и сферической ($v = 3$) симметрии для широкого диапазона значений $\gamma = 1.2, 1.4, \frac{5}{3}, 2, 2.17, 3, 4, 7$. Представленные в работе результаты указывают на существенную зависимость решения от значений параметров v и γ .

1. Рассматривается совершенный газ, не вязкий и не теплопроводный. Предполагается, что газ находится в покое, начальная плотность ρ_1 , начальное давление p_1 . В момент времени $t = 0$ в центре симметрии мгновенно происходит взрыв с конечной энергией E_0 .

Как известно [2], систему уравнений газовой динамики, описывающих одномерные движения газа за фронтом ударной волны при взрыве, можно взять в виде

$$\begin{aligned} \frac{\partial v}{\partial t} + v \frac{\partial v}{\partial r} + \frac{1}{\rho} \frac{\partial p}{\partial r} &= 0, & \frac{\partial \rho}{\partial t} + \frac{\partial (\rho v)}{\partial r} + \frac{(v-1) \rho v}{r} &= 0 \\ \frac{dE}{dt} - \frac{p}{\rho^2} \frac{dp}{dt} &= 0 \end{aligned} \quad (1.1)$$

где t — время, r — эйлерова координата, v — скорость, p — давление, ρ — плотность, E — внутренняя энергия единицы массы газа, v — параметр, характеризующий симметрию движения ($v = 1, 2, 3$ соответственно для плоской, цилиндрической и сферической симметрии).

На ударной волне (при $r = r_2$) должны выполняться три граничных условия

$$v(r_2, t) = v_2, \quad \rho(r_2, t) = \rho_2, \quad p(r_2, t) = p_2 \quad (1.2)$$

Здесь

$$\begin{aligned} v_2 &= \frac{2c}{\gamma+1} \left[1 - \frac{a_1^2}{c^2} \right], & \rho_2 &= \frac{\gamma+1}{\gamma-1} \rho_1 \left[1 + \frac{2}{\gamma-1} \frac{a_1^2}{c^2} \right]^{-1} \\ p_2 &= \frac{2\rho_1 c^2}{\gamma+1} \left[1 - \frac{\gamma-1}{2\gamma} \frac{a_1^2}{c^2} \right], & c &= \frac{dr_2}{dt} \end{aligned}$$

При этом r_2 — радиус ударной волны, γ — показатель адиабаты, a_1 — скорость звука в невозмущенном газе.

В центре симметрии имеем граничное условие для скорости

$$v(0, t) = 0 \quad (1.3)$$

В момент $t = 0$ в центре выделяется конечная энергия E_0 и заданы начальные условия

$$v(r, 0) = 0, \quad \rho(r, 0) = \rho_1 = \text{const}, \quad p(r, 0) = p_1 = \text{const}, \quad r_2(0) = 0 \quad (1.4)$$

¹ Этот метод предложен в диссертации Н. С. Бурновой (Мельниковой), защищенной в МГУ в 1953 г. (см. РЖМех, 1954, № 3, 2535).

Из системы определяющих параметров $\rho_1, p_1, E_0, r, t, v, \gamma$ ясно, что искомые безразмерные функции

$$f(\lambda, q) = \frac{v}{v_2}, \quad g(\lambda, q) = \frac{p}{p_2}, \quad h(\lambda, q) = \frac{p}{p_2} \quad \left(\lambda = \frac{r}{r_2}, \quad q = \frac{\alpha_1}{c} \right) \quad (1.5)$$

будут зависеть от постоянных v и γ .

Введем соотношение, которое связывало бы энергию взрыва E_0 с параметрами на фронте ударной волны. Сумма внутренней и кинетической энергии в каждый момент времени должна равняться начальной энергии газа, вовлеченного в движение, и энергии взрыва E_0

$$E_0 + \delta_v \int_0^{r_2} \frac{p_1}{\gamma - 1} r^{\gamma-1} dr = \delta_v \int_0^{r_2} \left[\frac{1}{2} v^2 + \frac{p}{\gamma - 1} \right] \rho r^{\gamma-1} dr \\ \delta_v = 2\pi(v-1) + (v-2)(v-3) \quad (1.6)$$

Выпишем интегральный закон сохранения массы

$$\int_0^{r_2} \rho r^{\gamma-1} dr = \int_0^{r_2} \rho_1 r^{\gamma-1} dr = \frac{\rho_1 r_2^\gamma}{v} \quad (1.7)$$

Если перейти к безразмерным переменным (1.5), то интегральные соотношения (1.6), (1.7) можно записать в виде

$$E_0 + \delta_v \frac{p_1 r_2^\gamma}{v(\gamma-1)} = \delta_v r_2^\gamma \left[\frac{p_2 v^2}{2} \int_0^1 g f^2 \lambda^{\gamma-1} d\lambda + \frac{p_2}{\gamma-1} \int_0^1 h \lambda^{\gamma-1} d\lambda \right] \quad (1.8)$$

$$\int_0^1 g \lambda^{\gamma-1} d\lambda = \frac{\rho_1}{v p_2} \quad (1.9)$$

Для определения вида функции $g(\lambda, q)$ к уравнению (1.9) присоединим следующие условия. Так как плотность — положительная величина, то

$$g \geq 0 \quad (0 \leq \lambda \leq 1) \quad (1.10)$$

Из условия (1.2) на фронте ударной волны имеем

$$g = 1 \quad \text{при } \lambda = 1 \quad (1.11)$$

При вырождении ударной волны в звуковую должно выполняться условие

$$[dg / d\lambda]_{t \rightarrow \infty} \equiv 0 \quad (0 \leq \lambda \leq 1) \quad (1.12)$$

В принятой постановке задачи из асимптотического поведения решения вблизи центра взрыва имеем

$$g = 0 \quad \text{при } \lambda = 0 \quad (1.13)$$

Если взять функцию g в виде

$$g = A(t) \lambda^{\alpha(t)} + B \quad (1.14)$$

то при соответствующем выборе коэффициентов A, B и $\alpha(t)$ можно удовлетворить уравнению (1.9) и условиям (1.10) — (1.13). После подстановки g из (1.14) в уравнение (1.9) найдем

$$\frac{A(t)}{\alpha(t) + v} = \frac{\rho_1}{v p_2} - \frac{B}{v} \quad (1.15)$$

Соответственно из условий (1.10) — (1.13) получим

$$A(t) \lambda^{\alpha(t)} + B \geq 0, \quad A(t) + B = 1, \quad A(\infty) \alpha(\infty) \lambda^{\alpha(\infty)-1} \equiv 0, \quad B = 0 \quad (1.16)$$

Из последних трех условий (1.16) следует

$$A(t) \equiv 1, \quad \alpha(\infty) = 0 \quad (1.17)$$

При этом первое условие (1.16) удовлетворяется автоматически. Из соотношения (1.15) получаем

$$\alpha(t) = v(p_2 / \rho_1 - 1) \quad (1.18)$$

Таким образом, используя (1.14) и (1.16), из (1.9) получим

$$g(\lambda, q) = \lambda^{\alpha(t)} \quad (1.19)$$

причем функция $\alpha(t)$ однозначно определяется по формуле (1.18). В дальнейшем при решении задачи будем считать, что распределение плотности внутри ударной волны определяется соотношениями (1.18) и (1.19); тогда из второго уравнения (1.1) можно определить скорость, а из первого — давление в газе; при этом в системе уравнений (1.1) не удовлетворяется третье из них — уравнение энергии. В дальнейшем закону сохранения энергии будем удовлетворять в интегральной форме для всей области возмущенного движения, заключенного внутри ударной волны.

Пользуясь соотношениями (1.5), запишем выражение для плотности (1.19) в виде

$$\rho = \rho_2 (r / r_2)^{\alpha(t)} \quad (1.20)$$

Отсюда имеем

$$\frac{\partial \rho}{\partial t} - \bar{p} \left[\frac{d \ln \rho_2}{dt} + \frac{da}{dt} \ln \frac{r}{r_2} - \frac{\alpha(t) d \ln r_2}{dt} \right], \quad \frac{\partial \rho}{\partial r} = \alpha(t) \frac{\rho}{r} \quad (1.21)$$

Подставляя эти выражения во второе уравнение (1.1), получим

$$\frac{\partial v}{\partial r} - (1 - \alpha - v) \frac{v}{r} - \left(\frac{\alpha}{r_2} \frac{dr_2}{dt} - \frac{d \ln \rho_2}{dt} \right) + \frac{da}{dt} \ln \frac{r}{r_2} = 0 \quad (1.22)$$

Решая это уравнение, получим выражение для скорости

$$v(r, t) = - \frac{r \ln(r/r_2)}{(\alpha + v)} \frac{da}{dt} + \frac{r}{(\alpha + v)^2} \frac{da}{dt} + A(t) \frac{r}{\alpha + v} + \frac{\varphi(t)}{r^{\alpha+v-1}} \quad (1.23)$$

где

$$A(t) = \frac{\alpha}{r_2} \frac{dr_2}{dt} - \frac{1}{\rho_2} \frac{d\rho_2}{dt}$$

Из граничного условия в центре (1.3) получаем, что произвольная функция $\varphi(t) \equiv 0$; поэтому, подставив в (1.23) выражение для $\alpha(t)$ из (1.18), получим

$$v(r, t) = v_2 \left(1 - \frac{r_2}{\rho_2 v_2} \frac{d\rho_2}{dt} \ln \frac{r}{r_2} \right) \frac{r}{r_2} \quad (1.24)$$

Отсюда видно, что условие для скорости (1.2) автоматически выполняется. Подставив $v(r, t)$, $\rho(r, t)$ в первое уравнение (1.1), согласно (1.20) и (1.24), получим

$$\frac{dp}{dr} = - \rho_2 \left(\frac{r}{r_2} \right)^{\alpha(t)+1} \left[K + L \ln \frac{r}{r_2} + M \left(\ln \frac{r}{r_2} \right)^2 \right] \quad (1.25)$$

Здесь

$$\begin{aligned} K &= \frac{v_2^2}{r_2} + \frac{dv_2}{dt} - \frac{v_2}{\rho_2} \frac{d\rho_2}{dt} - \frac{v_2}{r_2} \frac{dr_2}{dt} + \frac{1}{\rho_2} \frac{d\rho_2}{dt} \frac{dr_2}{dt} \\ L &= 2M - \frac{2v_2}{\rho_2} \frac{d\rho_2}{dt} - \frac{r_2}{\rho_2} \frac{d^2 \rho_2}{dt^2}, \quad M = \frac{r_2}{\rho_2^2} \left(\frac{d\rho_2}{dt} \right)^2 \end{aligned} \quad (1.26)$$

Решая уравнение (1.25), найдем

$$\begin{aligned} p(r, t) &= - \frac{\rho_2 r_2}{\alpha + v} \left(\frac{r}{r_2} \right)^{\alpha+2} \left[H_1 + H_2 \ln \frac{r}{r_2} + H_3 \left(\ln \frac{r}{r_2} \right)^2 \right] + f(t) \quad (1.27) \\ &\left(H_1 = K - \frac{H_2}{\alpha + 2}, H_2 = L - \frac{2M}{\alpha + 2}, H_3 = M \right) \end{aligned}$$

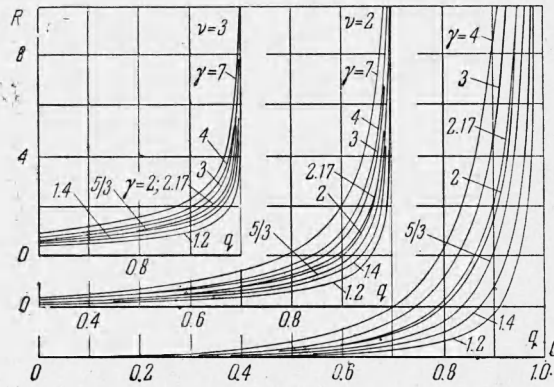
Функцию $f(t)$ определяем из граничного условия на ударной волне (1.2)

$$f(t) = p_2 + \frac{H_1 \rho_2 r_2}{(\alpha + 2)} \quad (1.28)$$

После некоторых упрощений формулы, дающие распределение безразмерных характеристик движения в возмущенной области, можно записать так

$$\begin{aligned} \frac{p}{p_2} &= 1 + \frac{H_1 \rho_2 r_2}{p_2 (\alpha + 2)} \left[1 - \left(\frac{r}{r_2} \right)^{\alpha+2} \right] - \frac{\rho_2 r_2}{p_2 (\alpha + 2)} \left(\frac{r}{r_2} \right)^{\alpha+2} \left(H_2 + H_3 \ln \frac{r}{r_2} \right) \ln \frac{r}{r_2} \\ \frac{v}{v_2} &= \left[1 - H_4 \ln \frac{r}{r_2} \right] \frac{r}{r_2}, \quad \frac{\rho}{\rho_2} = \left(\frac{r}{r_2} \right)^{\alpha(t)} \\ &\left(H_4 = \frac{r_2}{\rho_2 v_2} \frac{d\rho_2}{dt}, \alpha(t) = v \left(\frac{\rho_2}{\rho_1} - 1 \right) \right) \end{aligned} \quad (1.29)$$

Решение (1.29) удовлетворяет всем граничным условиям; время t в это решение в явном виде не входит, а выражается через параметры на фронте ударной волны и координату фронта. Из (1.29), (1.2) ясно, что характеристики движения газа в возмущенной области выражаются через функцию $r_2(t)$, описывающую закон распространения ударной волны; если функция $r_2(t)$ известна, например, из эксперимента, то формулы (1.29) дают полное решение задачи о взрыве. Если функция $r_2(t)$ неизвестна, то, подчинив решение (1.29) интегральному закону сохранения энергии (1.8), получим уравнение, из которого можно найти закон движения ударной волны $r_2(t)$. Для этого, кроме величин (1.5), введем безразмерные величины



Фиг. 1

$$(1.30) \quad R = \frac{r}{r_0}, \quad \tau = \frac{t}{t^0} \\ \left(r^0 = \left(\frac{E_0}{p_1} \right)^{1/\nu}, t^0 = \left(\frac{E_0}{p_1} \right)^{1/\nu} \frac{1}{a_1} \right)$$

Здесь r^0 — динамическая длина, $[r^0] = L$, а t^0 — динамическое время, $[t^0] = T$. Тогда коэффициенты H_1, H_2, H_3, H_4 в формулах (1.29) в новых переменных могут быть представлены в виде

$$H_1 = - \frac{2a_1^2 (p_1 / E_0)^{1/\nu}}{(\gamma + 1) q} \left\{ \frac{(1 - q^2)(\gamma - 1 + 2q^2)}{q(\gamma + 1) R} + \frac{(1 + 3q^2)}{q^2} \frac{dq}{dR} + \right. \\ \left. + \frac{4(1 - q^2)}{[\nu + \gamma - 1 + (2 - \nu) q^2]} \frac{dq}{dR} + \frac{(\gamma + 1) R}{[\nu + \gamma - 1 + (2 - \nu) q^2]} \frac{d^2 q}{dR^2} - \right. \\ \left. - \frac{4(\gamma + 1) q R}{[\nu + \gamma - 1 + (2 - \nu) q^2]^2} \left(\frac{dq}{dR} \right)^2 \right\} \quad (1.31)$$

$$H_2 = 16a_1^2 \left(\frac{p_1}{E_0} \right)^{1/\nu} \left\{ \frac{(1 - q^2)}{[(\gamma + 1) q (\gamma - 1 + 2q^2)]} \frac{dq}{dR} + \right. \\ \left. + \frac{R}{4(\gamma - 1 + 2q^2) q} \frac{d^2 q}{dR^2} - \frac{R}{[\nu + \gamma - 1 + (2 - \nu) q^2] (\gamma - 1 + 2q^2)} \left(\frac{dq}{dR} \right)^2 \right\} \quad (1.32)$$

$$H_3 = \frac{16a_1^2 (p_1 / E_0)^{1/\nu} R}{(\gamma - 1 + 2q^2)^2} \left(\frac{dq}{dR} \right)^2, \quad H_4 = -i \frac{2(\gamma + 1) q R}{(\gamma - 1 + 2q^2)(1 - q^2)} \frac{dq}{dR} \quad (1.33)$$

Заменяя в уравнении сохранения энергии (1.8) функции $f(\lambda, q)$, $g(\lambda, q)$, $h(\lambda, q)$ соответствующими им выражениями из решения (1.29) с учетом (1.31) — (1.33), для определения $q(R)$ получим

$$q R^2 \frac{d^2 q}{dR^2} - 4 [\nu(\gamma - 1) + 2] \frac{q^2 R^2}{\omega} \left(\frac{dq}{dR} \right)^2 + \frac{(1 + 3q^2) R \omega}{2(\gamma + 1) q} \frac{dq}{dR} + \\ + \frac{2qR}{(\gamma + 1)} [\nu(\gamma - 1) + 2] (1 - q^2) \frac{dq}{dR} + \frac{\nu(\gamma - 1) \omega^2 q^2}{4\gamma(\gamma - 1) \delta_v R \nu} + \\ + \frac{\omega(1 - q^2)}{2(\gamma + 1)^2} [\psi - \omega - \nu(\gamma - 1)(1 - q^2)] = 0 \quad \left(\begin{array}{l} \psi = \gamma - 1 + 2q^2, \\ \omega = 2\nu + (\nu + 2)(\gamma - 1) + 4q^2 \end{array} \right) \quad (1.34)$$

Нелинейное дифференциальное уравнение второго порядка (1.34) в элементарных функциях не интегрируется. Для приближенного интегрирования уравнения (1.34) сведем его к системе двух обыкновенных уравнений первого порядка

$$\frac{d\sigma}{dq} = \frac{4 [\nu(\gamma - 1) + 2] q \sigma}{\omega} - \frac{2 [\nu(\gamma - 1) + 2] (1 - q^2)}{(\gamma + 1) R} - \frac{(1 + 3q^2)}{2(\gamma + 1) q^2 R} - \\ - \frac{\nu(\gamma - 1) \omega^2 q}{4\gamma(\gamma + 1) \delta_v R \nu^2} \frac{1}{\sigma} + \frac{\omega [\omega - \psi + \nu(\gamma - 1)(1 - q^2)] (1 - q^2)}{2(\gamma + 1)^2 R^2 q \sigma}, \quad \frac{dR}{dq} = \frac{1}{\sigma} \quad (1.35)$$

Начальное условие для решения системы (1.35) нужно брать в точке ($q = 0, R = 0$), но эта точка для системы (1.35) будет особой точкой. В качестве асимптотики вблизи точки ($q = 0, R = 0$) при счете системы (1.35) брали решение линеаризованной задачи о взрыве, при этом решении $R(q)$ и $\sigma(q)$ определяются по формулам

$$R' = \left(\frac{2}{2 + \nu} \right)^2 \frac{1}{\gamma \alpha} q^{\alpha} e^{A_1 q^{\frac{\alpha}{2}}}, \quad \sigma(q) = \frac{\nu q}{2R(1 + A_1 q^2)} \quad (1.36)$$

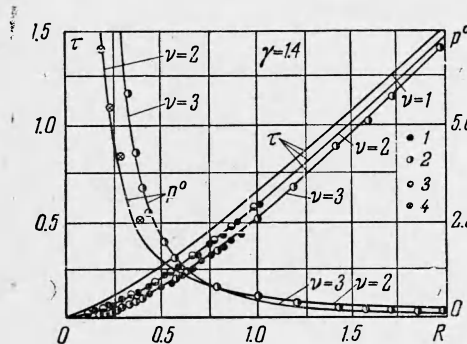
Здесь постоянные A_1 и α_1 в зависимости от ν и γ известны из решения линеаризированной задачи о взрыве [8, 13].

Для системы (1.35) вблизи особой точки ($q = 0, R = 0$) можно пользоваться асимптотическими выражениями

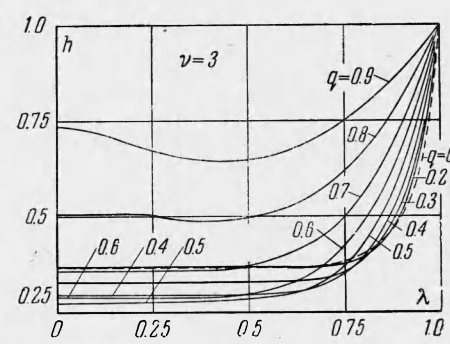
$$q = C_0 R^{\nu/2}, \quad C_0^2 = \frac{[\nu(3\gamma - 1) + 2(\gamma - 1)] \delta_{\nu\gamma}}{\nu(\gamma^2 - 1)[2\nu + (\nu + 2)(\gamma - 1)]} \quad (1.37)$$

полученными как решение уравнения (1.34) с линеаризованными коэффициентами. Это асимптотическое представление до значений $q = 0.01$ практически совпадает с асимптотикой (1.36).

2. Для нахождения функции $R(q)$ нужно численно интегрировать систему уравнений (1.35) с асимптотикой (1.36) или при малых q (до $q = 0.01$) с асимптотикой (1.37).



Фиг. 2



Фиг. 3

Для уравнения (1.34) приближенное аналитическое решение можно предложить в виде

$$q = C_0 R^{\nu/2} \left[\cos \frac{\pi q}{2} \right]^n \quad \left(n = \frac{\nu + 4}{\nu + 2} \right) \quad (2.1)$$

Счет по формуле (2.1) в сравнении с точным численным счетом уравнений (1.35) при $\gamma = 1.4$ дает погрешность, равную 6–8%.

На фиг. 1 представлены зависимости $R(q)$ для $\nu = 1, 2, 3$ и $\gamma = 1.2, 1.4, 1.67, 2, 2.17, 3, 4, 7$, найденные численным интегрированием системы (1.35) методом Рунге — Кutta.

Пользуясь найденными значениями $R(q)$ и $\sigma(q)$, безразмерные характеристики движения газа рассчитываются по формулам

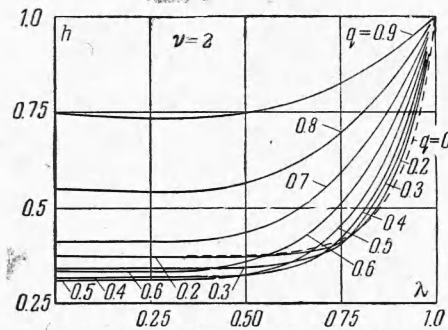
$$\begin{aligned} f(\lambda, q) &= (1 + N_4 \ln \lambda) \lambda, & g(\lambda, q) &= \lambda^{2\nu/(1-q^2)/\psi} \\ h(\lambda, q) &= 1 - N_1 (1 - \lambda^{2\xi/\psi}) - (N_2 + N_3 \ln \lambda) \lambda^{2\xi/\psi} \ln \lambda, & \tau &= \int_0^R q(R) dR \end{aligned} \quad (2.2)$$

при этом коэффициенты N_i ($i = 1, 2, 3, 4$) выражаются через H_i формулами

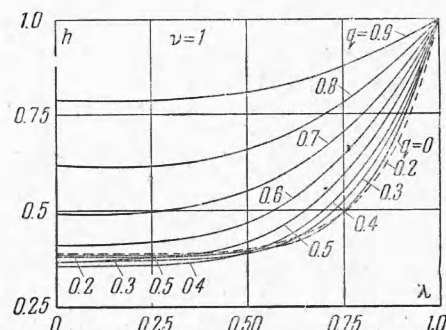
$$N_1 = -f_2 H_1, \quad N_2 = f_2 H_2, \quad N_3 = f_2 H_3, \quad N_4 = -H_4 \quad (2.3)$$

$$f_2 = \frac{\rho_2 r_2}{p_2(\alpha + 2)} = \frac{a_1^{-2} (E_0 / p_1)^{1/\nu} \gamma (\gamma + 1)^2 q^2 R}{2\xi [2\nu + (1 - \nu) q^2]}, \quad \xi = \frac{\omega - \nu\psi}{2}$$

По формулам (2.2), (2.3) проведены расчеты функций $f(\lambda, q)$, $g(\lambda, q)$, $h(\lambda, q)$, $\tau(R)$, характеризующих движение газа, для $v = 1, 2, 3$ и $\gamma = 1.2, 1.4, 1.67, 2, 2.17, 3, 4, 7$. На фиг. 2—5 для примера приведены результаты расчета для $v = 1, 2, 3$ и $\gamma = 1.4$. На фиг. 2 представлен закон движения ударной волны $\tau(R)$ и избыточные давления на фронте $p^o = (p_2 - p_1) / p_1$. На фиг. 2 точками 2 показаны при $v = 3, \gamma = 1.4$ данные численного расчета Д. Е. Охочимского и др. [3], основанного на использовании метода сеток.



Фиг. 4



Фиг. 5

При $v = 2, 3$ дано сравнение полученной в работе кривой $\tau(R)$ с экспериментальными данными В. И. Дешнина и Т. М. Саламахина (3 — экспериментальные данные В. И. Дешнина, 1 — экспериментальные данные Т. М. Саламахина). Избыточные давления на фиг. 2 сравниваются с экспериментальными данными М. А. Цикулина (4 — экспериментальные данные М. А. Цикулина). Как видно из фиг. 2, все экспериментальные данные группируются вдоль теоретических кривых; избыточные давления на фронте ударной волны, полученные в настоящей работе до $p^o = 0.6$, очень близки к полученным в работе [3], а для $p^o \leq 0.6$ кривая избыточных давлений, полученная в работе, лежит ниже данных численного расчета [3]; для закона движения ударной волны данные численного расчета методом сеток [3] практически совпадают с данными, полученными в настоящей работе.

Поступила 24 II 1964

ЛИТЕРАТУРА

- Седов Л. И. Движение воздуха при сильном взрыве. Докл. АН СССР, 1946, т. 52, № 1.
- Седов Л. И. Методы подобия и размерности в механике, 4-е изд. Гостехиздат, М., 1957.
- Охочимский Д. Е., Кондратова И. Л., Власова З. П., Казакова Р. К. Расчет точечного взрыва с учетом противодавления. Тр. Матем. ин-та АН СССР, 1957, т. 50.
- Goldstine H., Neumann I. Blast Wave Calculation. Commun. Pure and Appl. Mathem., 1955, v. 8, p. 327—354.
- Годе Н. Numerical Solutions of Spherical Blast Waves. J. Appl. Phys., 1955, v. 26, No. 6, p. 766—775.
- Черный Г. Г. Адиабатические движения совершенного газа с ударными волнами большой интенсивности. Изв. АН СССР, ОТН, 1957, № 3.
- Черный Г. Г. Применение интегральных соотношений в задачах о распространении сильных ударных волн. ПММ, 1960, т. 24, вып. 1.
- Sakurai A. On the propagation and structure of the blast wave. J. Phys. Soc. Japan, 1953, v. 8, No. 5; 1957, v. 9, No. 2.
- Коробейников В. П., Мельникова Н. С., Рязанов Е. В. Теория точечного взрыва. Физматгиз, М., 1961.
- Коробейников В. П., Мельникова Н. С. О точных решениях линеаризованной задачи о точечном взрыве с противодавлением. Докл. АН СССР, 1957, т. 16, № 2; 1959, т. 126, № 1.
- Кочина Н. Н., Мельникова Н. С. О неустановившемся движении газа, вытесняемого поршнем, с учетом противодавления. ПММ, 1958, т. 22, вып. 4.
- Кочина Н. Н., Мельникова Н. С. О движении поршня в идеальном газе. ПММ, 1960, т. 24, вып. 2.
- Чушкин П. И., Коробейников В. П. Расчет начальной стадии точечного взрыва в различных газах. ПМТФ, 1963, № 4.